

# MicroRNA-34a 调控 KLF4 转录因子 在结直肠癌 5-Fu 耐药中的作用

李 娜<sup>1,2</sup>, 李 赘<sup>2</sup>, 万 小 亚<sup>3</sup>, 巩 平<sup>2</sup>, 李 勇<sup>1</sup>

(1. 遂宁市中心医院, 四川 遂宁 629000; 2. 石河子大学医学院第一附属医院, 新疆 石河子 832000;

3. 岳池县人民医院, 四川 岳池 638300)

**摘要:** [目的] 研究 microRNA-34a(miR-34a)与其靶基因 KLF4 转录因子在结直肠癌发生化疗耐药中的作用。[方法] 利用 miRDB 和 microRNA 公共数据库筛选出 miR-34a 的直接作用靶点 KLF4 3'-UTR 区。运用 real-time PCR 方法检测人 5-氟尿嘧啶(5-Fu)耐药和敏感的结直肠癌组织及癌旁组织中 miR-34a 与 KLF4 的表达水平;建立 5-Fu 抵抗性结直肠癌细胞系,运用 real-time PCR 方法检测耐药细胞中 KLF4 的表达;上调 5-Fu 耐药结直肠癌细胞中 miR-34a 的表达,明确在结直肠癌 5-Fu 耐药细胞系中 miR-34a 对 KLF4 的调控作用。[结果] 在 40 例 5-Fu 耐药的结直肠癌组织中 miR-34a 呈低表达,KLF4 呈高表达,且 miR-34a 在癌组织及癌旁组织中的表达与 KLF4 呈显著负相关( $r=-0.678, P<0.001$ );在 5-Fu 耐药结直肠癌细胞系 HCT-8/5-Fu 和 SW-480/5-Fu 中 KLF4 呈高表达,且上调耐药细胞中 miR-34a 可抑制耐药细胞中 KLF4 的表达。[结论] KLF4 转录因子在 5-Fu 化疗耐药的结直肠癌组织中呈低表达,并与 miR-34a 呈负相关,上调 miR-34a 的表达可直接抑制 KLF4 的表达,提示 miR-34a 负向调控 KLF4 具有逆转结直肠癌细胞化疗耐药的可能。

**关键词:** 结直肠癌; 5-氟尿嘧啶; 耐药; miR-34a; KLF4

**中图分类号:**R735.3   **文献标识码:**A   **文章编号:**1004-0242(2020)02-0148-06

doi:10.11735/j.issn.1004-0242.2020.02.A011

## KLF4 Transcription Factor Regulated by MicroRNA-34a in 5-Fu Chemotherapy Resistance of Colorectal Cancer

LI Na<sup>1,2</sup>, LI Yun<sup>2</sup>, WAN Xiao-ya<sup>3</sup>, GONG Ping<sup>2</sup>, LI Yong<sup>1</sup>

(1.Suining Central Hospital,Suining 629000,China; 2.The First Affiliated Hospital of Medical College ,Shihezi University ,Shihezi 832000,China; 3.The People's Hospital of Yuechi,Yuechi 638300 ,China )

**Abstract:** [Purpose] To investigate the role of microRNA-34a(miR-34a) and its target gene Krüppel-like factor 4(KLF4) transcription factor in chemotherapy resistance of colorectal cancer.[Methods] KLF4 3'-UTR region was screened as the direct target region of miR-34a by using miRDB and microRNA public databases. The expression level of miR-34a and KLF4 in human 5-Fu resistant and sensitive colorectal cancer tissues and adjacent tissues was detected by the real-time PCR. 5-Fu resistant colorectal cancer cell line was established and the expression of KLF4 in drug resistant colorectal cancer cells was detected by real-time PCR.The expression of miR-34a in 5-Fu resistant colorectal cancer cells was up-regulated, and the regulatory effect of miR-34a on KLF4 in 5-Fu resistance colorectal cancer cells was confirmed. [Results] In 40 cases of 5-Fu resistant colorectal cancer, the expression of miR-34a was low and the expression of KLF4 was high, and the expression of miR-34a in cancer tissues and adjacent tissues was negatively correlated with KLF4 ( $r=-0.678, P<0.001$ ). The high expression of KLF4 was detected in 5-Fu resistant colorectal cancer HCT-8/5-Fu cells and SW-480/5-Fu cells; and the up-regulation of miR-34a inhibited the expression of KLF4 in drug-resistant colorectal cells.[Conclusion] The expressionof KLF4 transcription factor is low in 5-Fu resistant colorectal cancer and it is negatively correlated with miR-34a. Up-regulating the expression of miR-34a can inhibit the expression of KLF4, suggesting that the negative regulation of KLF4 by miR-34a may reverse the chemotherapy resistance of colorectal cancer cells.

**Key words:**colorectal cancer;5-fluorouracil;drug resistance;miR-34a;Krüppel-like factor 4(KLF4)

结直肠癌(colorectal cancer,CRC)是最常见的

恶性肿瘤之一,也是全球癌症死亡的主要原因之一。

收稿日期:2019-08-10;修回日期:2019-09-29

晚期结直肠癌目前仍以奥沙利铂、伊立替康及氟尿

基金项目:国家自然科学基金(81660400)

嘧啶类药物为治疗基石<sup>[1]</sup>。目前由于结直肠癌化疗

通信作者:李 勇,E-mail:lny2008hy@163.com

耐药机制仍不清楚，因此化疗耐药仍是晚期结直肠癌不可避免的治疗瓶颈问题。MicroRNA(miRNA)是一类含量丰富且高度保守的非编码小RNA分子，调控细胞分裂、分化、凋亡等重要生物学过程，并在多种肿瘤的发生、发展及化疗耐药中发挥重要作用<sup>[2-4]</sup>。课题组前期研究证实miR-34a在结直肠癌组织中呈低表达，同时miR-34a的表达与5-氟尿嘧啶(5-Fu)化疗敏感性相关<sup>[5]</sup>。另有研究显示miR-34a高表达可逆转结直肠癌细胞化疗耐药<sup>[6]</sup>。本文旨在研究miR-34a调控KLF4(Krüppel-like factor 4)转录因子在结直肠癌耐药中的作用，为结直肠癌化疗耐药逆转提供新思路。

## 1 资料与方法

### 1.1 材料和试剂

收集82例于2016年1月至2018年12月在石河子大学医学院第一附属医院经病理确诊的术后复发转移的Ⅳ期结直肠癌患者及其组织标本。入组患者体能状态良好，ECOG评分(Eastern Cooperative Oncology Group)为0~1分，均接受以5-Fu为基础的一线化疗。本研究经石河子大学医学院第一附属医院伦理委员会批准，且所有患者均签署知情同意书。其中42例患者化疗敏感，40例患者化疗耐药，两组间年龄、性别、组织分化均无统计学差异，两组间转移部位存在差异，其中化疗敏感组肺转移、肝转移、肝和肺同时转移、腹盆腔转移；化疗耐药组肺转移、肝转移、肝和肺同时转移、腹盆腔转移，差异具有统计学意义( $P<0.05$ ) (Table 1)。

HCT-8/5-Fu耐药细胞和亲本细胞HCT-8、SW-480/5-Fu耐药细胞和亲本细胞SW-480均购自上海博谷生物科技有限公司。其中HCT-8、SW-480/5-Fu耐药细胞5-Fu的浓度分别是 $1.5\times10^4\text{ng}/\text{ml}$ 和 $2.0\times10^4\text{ng}/\text{ml}$ 。胎牛血清(FBS)购自美国Invitrogen公司；1%青霉素/链霉素购自美国Thermo Fisher公司；试剂盒购

自TaKaRa；Lipofectamine™3000购自Invitrogen；miR-34a mimic购自上海吉凯基因化学技术有限公司；I抗和II抗购自BD公司。Real-Time Thermocycler 7500 PCR仪购自美国应用生物系统公司；酶标仪购自美国Bio Tek Instruments公司；光学显微镜购自日本Olympus公司。

### 1.2 筛选靶基因

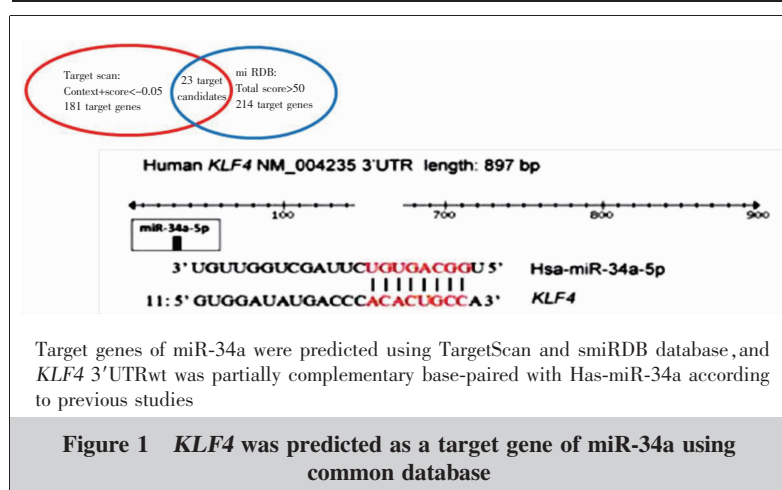
利用miRDB和microRNA公共数据库，筛选到了KLF4的3'-UTR区为miR-34a的直接作用靶点 (Figure 1)。

### 1.3 疗效评估与分组

标准化疗2个周期后(或FOLFOX/FOLFIRI方案4个周期)，根据增强CT的检查结果进行疗效评估，评效采用RECIST1.1将疗效分为化疗有效组：完全缓解(CR)+部分缓解(PR)+疾病稳定(SD)和化疗

Table 1 The clinicopathological characteristics of 82 CRC patients

Parameter	Total (n=82)	Chemotherapy sensitive group (n=42)	Chemotherapy resistant group (n=40)	P
Age(years)				
<65	35	18	17	
≥65	47	24	23	0.974
Gender				
Male	48	28	20	
Female	34	14	20	0.126
Differentiation				
Well	34	16	18	
Poor	48	26	22	0.526
Metastasis				
Lung	33	12	21	
Liver	29	20	9	
Lung and liver	12	8	4	0.019
Peritoneum/pelvic	8	2	6	



耐药组:疾病进展(PD)<sup>[7]</sup>。

#### 1.4 细胞培养

所有细胞培养于混合 10%FBS,1×10<sup>5</sup>/L 青霉素和 100mg/L 链霉素的 1640 培养液中,置于 37℃、5%CO<sub>2</sub> 培养箱中培养,细胞达到 90%融合状态后传代,取对数期生长状况良好的细胞进行后续实验。转染实验:将 2.5×10<sup>5</sup> 细胞接种于 6 孔板中培养过夜,然后将 miR-34a-mimic(类似物)及 miR-NC 50nmol/L,使用 Lipofectamine<sup>TM</sup> 3000 进行转染。

#### 1.5 Real-time PCR 检测

(1) 总 RNA 提取:根据说明书用 Trizol 试剂(Invitrogen,美国)从培养的细胞、结直肠癌及癌旁正常组织中提取总 RNA。然后通过 RNeasy Mini Kit RNA 试剂盒(Invitrogen,美国)分离纯化总 RNA 溶液,紫外分光光度计(上海光学仪器厂,755B 型)测量 RNA 的吸光度值,应用公式计算 RNA 浓度并评估纯度。(2) 实时荧光定量聚合酶链反应(real-time PCR)检测 miR-34a 的表达:利用 miRNA 特异性引物(3'-TGGCTCAGTCAGCAGGAACAG-5')通过 miScript II RT Kit(Qiagen)按逆转录说明书将 1μg RNA 逆转录为 cDNA。使用 SYBR Green PCR Master Mix 试剂盒(Life Technologies,美国)进行 real-time PCR 实验(PCR 仪为 ABI 7500 实时定量 PCR 仪 ABI, 美国),PCR 扩增条件为:95℃ 10min (95℃ 15s, 60℃ 1min 共 40 个循环), 每个样品都做 3 个复孔,选取 U6 为内参,以 ddH<sub>2</sub>O 代替样品 cDNA 做为阴性对照;miR-34a 的上游引物序列为 5'-CTGCCGCGCTCTACCTACCTA-3', 下游引物序列为 5'-ATGAGCCATT CGCAGTTCACTGTA-3'。U6 上游引物序列为 5'-GC CGT CGT GAAGCGTTC-3', 下游引物序列为 5'-GTG CAGGGTCCGAGGT-3'。样品中的荧光信号到达仪器设定的阈值时的循环数即为 Ct 值。采用 2<sup>-ΔΔCt</sup> 方法计算 miR-215 的相对表达量,其中 Ct 表示循环阈值,Δ Ct=(Ct<sub>miR-34a</sub>-Ct<sub>U6</sub>)。(3) 采用 real-time PCR 检测 KLF4 mRNA 的表达:按上述步骤提取细胞总 RNA,采用 High Capacity cDNA Reverse Transcription Kit(Thermo Fisher Scientific,美国)试剂盒,逆转录合成 cDNA。扩增反应使用 25μl 体系,包含引物、SYBR Green PCR Master Mix(全式金北京)及 1μl 的 cDNA,PCR 反应条件:95℃预变性 10min(95℃变性 15s, 60℃退火 1min, 40 个循环),溶

解曲线分析,95℃ 15s, 60℃ 1min, 95℃ 15s, 60℃ 15s, 并采用 GAPDH 扩增作为内参 Ct。使用 Sequence Detector System 软件进行分析,2<sup>-ΔΔCt</sup> 方法计算基因的相对表达量,Δ Ct=(Ct<sub>KLF4</sub>-Ct<sub>GAPDH</sub>)。每个样本中 mRNAs 的相对表达水平均重复检测 3 次。引物序列为 KLF4: 上游 5'-AAGAGTCCCCTCTCAAG-CACA-3', 下游 5'-GGCGAATTCCATCCACAG-3'。GAPDH: 上游 5'-AACGGATTGGTCGTATTG-3', 下游 5'-GGAAGATGGTGATGGGATT-3'。

#### 1.6 MTT 实验

用 3-(4,5-二甲基噻唑-2 基)-2,5-二苯基四唑溴化铵(MTT)法检测细胞活力。各组细胞以每孔 6×10<sup>4</sup> 个接种于 96 孔板,并且每组细胞设置 3 个复孔,分别加入含 10μmol/L 奥沙利铂(Oxaliplatin)、20μmol/L 5-Fu、15μmol/L 伊立替康(CPT-11)药物的细胞培养液,继续培养 12h。弃去原培养液后每孔加入 MTT(5g/L)20μl, 置于 37℃ 培养 4h。弃去上清,每孔加入 150 倍二甲基亚砜(DMSO),振荡 10min 使结晶充分溶解,使用酶标仪上检测各组细胞 490nm 波长的吸光度(A<sub>490</sub> 值),并计算细胞活力,细胞活力(%)=处理组 A<sub>490</sub> 值/对照组 A<sub>490</sub> 值×100%。

#### 1.7 Western blot 检测 KLF4 蛋白表达

在各组细胞中加入 0.25% 胰蛋白酶消化后,用 PBS 缓冲液清洗细胞 3 次;加入 65μl RIPA 细胞蛋白裂解液,SDS-PAGE 分离蛋白;电泳结束后转膜,再用 5% 脱脂奶粉室温封闭 1h,加入稀释 1000 倍的鼠抗人 KLF4 和 GAPDH I 抗,4℃ 轻摇过夜,加入稀释 5000 倍的 HRP 标记的羊抗鼠 II 抗,室温孵育 1h。X 线片曝光分析,结果用 Image-Pro Plus 处理,以目的蛋白与内参照价 β-actin 的灰度值比值表示蛋白的相对表达量。

#### 1.8 统计学处理

采用 SPSS20.0 软件,实验数据采用卡方检验、单因素方差分析、t 检验等进行统计学分析,计量数据以均数±标准差(mean±SD)表示,P<0.05 为差异有统计学意义。

## 2 结 果

### 2.1 MiR-34a 和 KLF4 与结直肠癌化疗耐药的相关性

采用 real-time PCR 检测 82 例患者癌旁组织与

癌组织中 *miR-34a* 和 *KLF4* 的表达。相较正常和 5-Fu 化疗敏感组, *KLF4* 转录因子在 5-Fu 抵抗性结直肠癌病理组织中异常高表达, 而化疗耐药组中 *miR-34a* 的表达低于正常和 5-Fu 化疗敏感的结直肠癌组织。并且在 5-Fu 耐药的结直肠癌及癌旁组织中发现, *miR-34a* 表达水平与 *KLF4* mRNA 水平呈显著负相关, 提示两者与结直肠癌 5-Fu 耐药性呈负相关 ( $r=-0.678, P<0.001$ ) (Table 2; Figure 2)。

## 2.2 MiR-34a 和 KLF4 在 5-Fu 耐药细胞中的表达

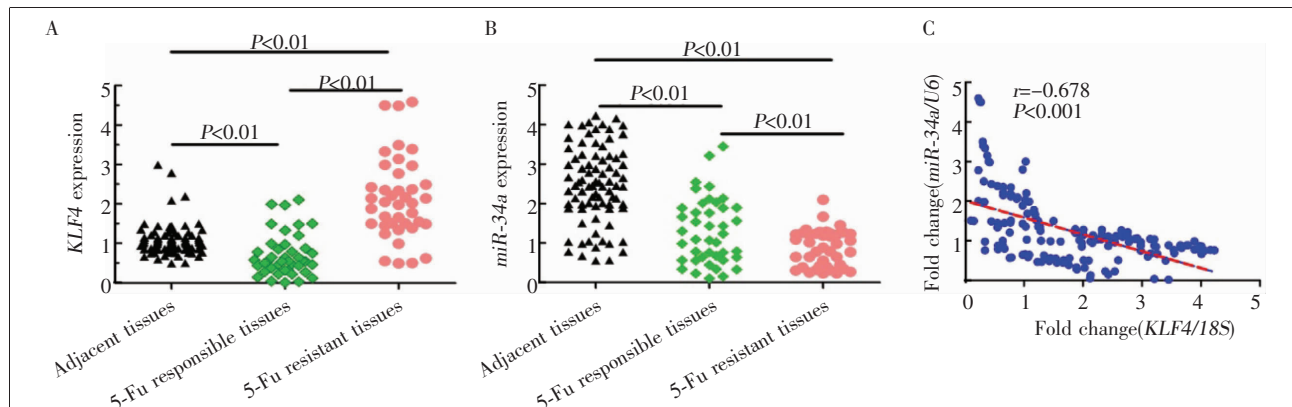
分别采用 10 $\mu$ mol/L 奥沙利铂 (Oxaliplatin)、

20 $\mu$ mol/L 5-Fu、15 $\mu$ mol/L 伊立替康 (CPT-11) 处理 HCT-8、HCT-8/5-Fu、SW-480 和 SW-480/5-Fu, 通过 MTT 法检测 HCT-8/5-Fu 和 SW-480/5-Fu 的多药耐药性, 结果显示 HCT-8/5-Fu 和 SW-480/5-Fu 较 HCT-8、SW-480 对奥沙利铂、5-Fu、伊立替康具有显著的多药耐药性 ( $P<0.01$ ) (Table 3; Figure 3)。

采用 real-time PCR 检测不同细胞中 *KLF4* 的表达, 结果显示在 5-Fu 耐药结直肠癌细胞系 HCT-8/5-Fu 和 SW-480/5-Fu 中, *KLF4* 呈显著高表达 ( $P<0.05$ , Figure 4)。

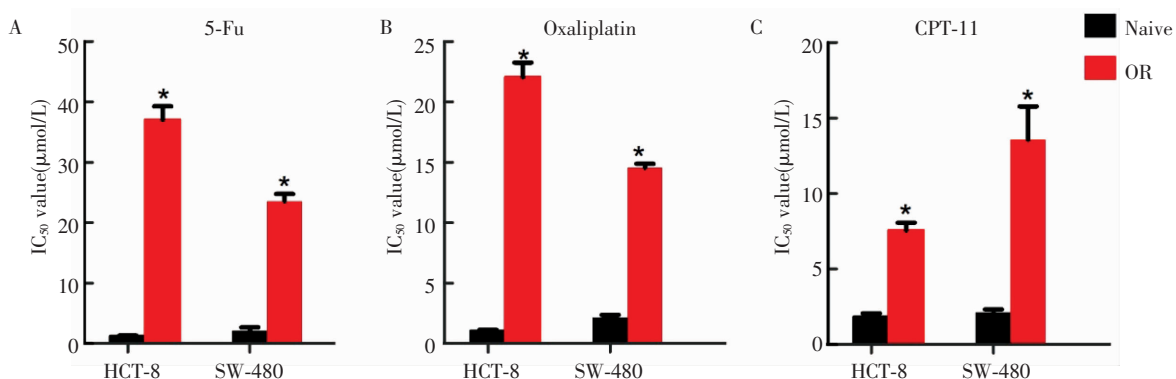
Table 2 Expression of *KLF4* and *miR-34a* in CRC tissues and adjacent tissues

Item	Adjacent tissues (n=82)	5-Fu responsible tissues (n=42)	5-Fu resistant tissues (n=40)	F	P
Expression of <i>KLF4</i>	1.09±0.40	0.71±0.53	2.15±0.95	55.92	<0.01
Expression of <i>miR-34a</i>	2.48±0.97	1.30±0.83	0.88±0.46	58.74	<0.01



A. Expression of *KLF4* in colorectal cancer tissues and adjacent tissues, *KLF4* was highly expressed in chemotherapy-resistant colorectal cancer tissues compared to chemotherapy-sensitive group and matched normal tissues ( $P<0.01$ ); B. Expression of *miR-34a* in colorectal cancer tissues and adjacent tissues, *miR-34a* level was lower in chemotherapy-resistant colorectal cancer tissues than chemotherapy-sensitive group and matched normal tissues ( $P<0.01$ ); C. *KLF4* levels in colorectal cancer tissues and adjacent tissues negatively correlated with expressions of *miR-34a* ( $P<0.001$ )

Figure 2 Expressions of *KLF4* and *miR-34a* along with their correlation in colorectal cancer tissues

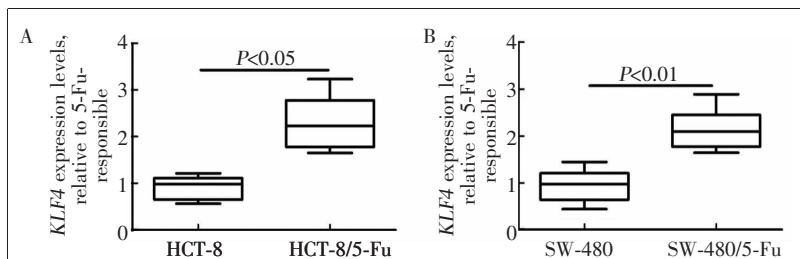


A, B and C represented sensitivity of two pairs of drug-resistance and its parental cells (HCT-8 and HCT-8/5-Fu, SW-480 and SW-480/5-Fu) oxaliplatin, 5-Fu and CPT-11, respectively

Figure 3 Assessment of multidrug resistance in 5-Fu resistant colorectal cancer cell lines

**Table 3 Multidrug resistance detection of 5-Fu resistant CRC cell lines**

Item	HCT-8 cell line			SW-4808 cell line		
	HCT-8	HCT-8-OR	P	SW-480	SW-480-OR	P
Oxaliplatin	1.05±0.10	22.04±1.21	<0.01	2.15±0.23	14.55±0.34	<0.01
5-Fu	1.25±0.10	37.04±2.21	<0.01	2.10±0.53	23.55±1.23	<0.01
CPT-11	1.85±0.23	7.56±0.51	<0.01	2.12±0.23	13.55±2.23	<0.01



A. *KLF4* level was significantly higher in HCT-8/5-Fu cell sublines than that in its parental cell HCT-8 ( $P<0.05$ );B. *KLF4* level was significantly higher in SW-480/5-Fu cell sublines than that in its parental cell SW-480( $P<0.01$ )。

**Figure 4 KLF4 levels in 5-Fu resistant colorectal cancer cell lines**

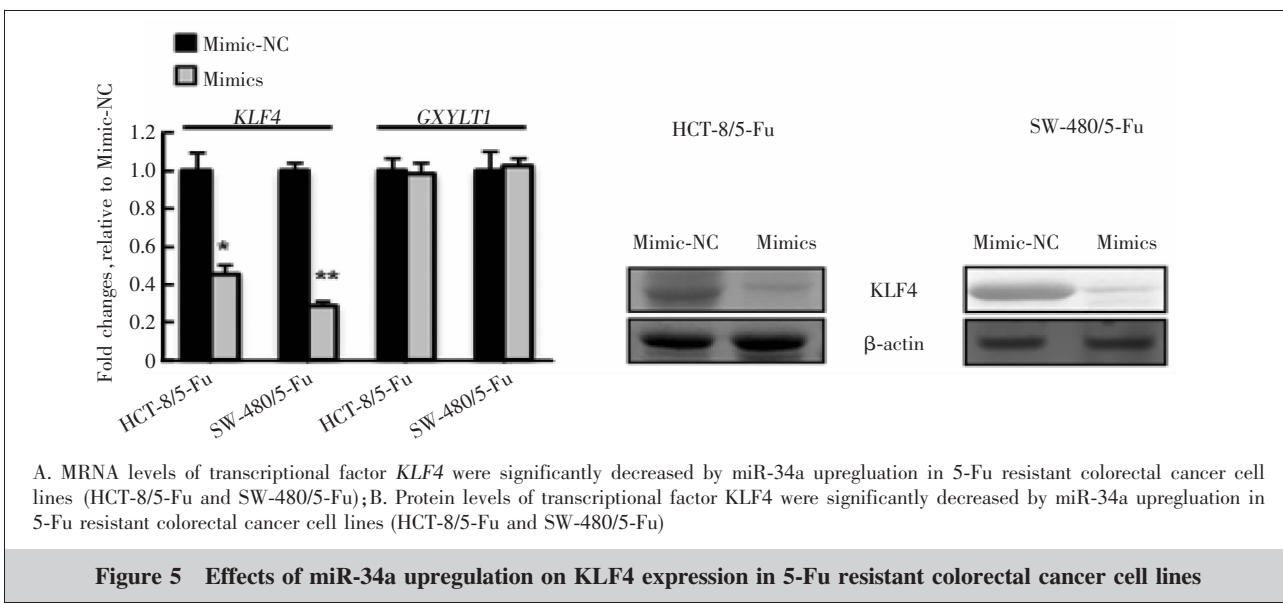
为进一步验证 miR-34a 和 KLF4 在结直肠癌耐药细胞中的调控作用，将 HCT-8/5-Fu 和 SW-480/5-Fu 分别瞬时转染进 miR-34a 的化学模拟物 mimics 及阴性对照 mimic-NC，结果显示上调 miR-34a 的表达，KLF4 mRNA、蛋白水平均显著被抑制，揭示 miR-34a 负性调控 KLF4 的表达与结直肠癌 5-Fu 化疗耐药显著相关( $P<0.01$ )(Figure 5)。

### 3 讨 论

化疗耐药是中晚期结直肠癌治疗失败的主要

原因，miRNA 在结直肠癌化疗耐药的调控中发挥重要作用<sup>[8-9]</sup>。MiR-34a 是 miRNA-34 家族中的一员，编码基因位于 1p36，已明确其在多种肿瘤中发挥抑癌作用，而 miR-34a 在结直肠癌的研究更为深入。MiR-34a 在 p53 诱导下表达调控众多靶基因 *E2F3*、*CDK4*、*Bcl2*、*MET*、*c-Myc*、*N-Myc*、*SIRT1* 等，并发挥类似 p53 的生物学作用，进而抑制结直肠癌的细胞增殖、侵袭、转移等作用，同时 miR-34a 能够促进结直肠癌化疗敏感性<sup>[10-11]</sup>。本课题组在前期研究中检测了 268 例术后结直肠癌患者的病理组织中 miR-34a 的表达水平，结果显示肿瘤组织中 miR-34a 表达水平与术后复发呈负相关，高表达者预后好，低表达者预后较差，无疾病生存时间短，3 年复发率高，提示 miR-34a 可作为结直肠癌复发的独立预测标志物。亚组分析显示 miR-34a 高表达的患者能够从化疗中获益<sup>[5]</sup>。Akao 等<sup>[12]</sup>研究发现在 5-Fu 耐药的结直肠癌细胞中上调 miR-34a 的表达，能够抑制耐药细胞的生长，5-Fu 耐药性部分逆转。Li 等<sup>[13]</sup>研究结果与之相似，上调 miR-34a 可使其靶基因 *LDHA* 下调抑制糖代谢从而逆转 5-Fu 耐药。

*KLF4* 是广泛表达于人类组织中的锌指结构转录因子，在正常细胞的生长、分化过程中发挥重要作用，包括细胞周期调控、增殖分化和凋亡等<sup>[14-18]</sup>。



A. mRNA levels of transcriptional factor *KLF4* were significantly decreased by miR-34a upregulation in 5-Fu resistant colorectal cancer cell lines (HCT-8/5-Fu and SW-480/5-Fu);B. Protein levels of transcriptional factor KLF4 were significantly decreased by miR-34a upregulation in 5-Fu resistant colorectal cancer cell lines (HCT-8/5-Fu and SW-480/5-Fu)

**Figure 5 Effects of miR-34a upregulation on KLF4 expression in 5-Fu resistant colorectal cancer cell lines**

KLF4 在肿瘤发生、发展中具有双向调节作用,其中通过抑制 Bax/p53 信号通路发挥促癌作用<sup>[19-21]</sup>。有研究发现 KLF4 在肿瘤干细胞中呈高表达<sup>[22-23]</sup>。Mao 等<sup>[24]</sup>研究发现 KLF4 在结直肠癌细胞中呈高表达,上调 KLF4 的表达能够逆转 miR-375 的抑癌作用,从而促进结直肠癌细胞的增殖。

本研究通过检测 5-Fu 化疗敏感及耐药组织中 miR-34a 和 KLF4 的表达,证实 miR-34a 在 5-Fu 化疗耐药的结直肠癌组织中呈低表达,KLF4 转录因子呈高表达,两者呈显著负相关;细胞实验发现,KLF4 在结直肠癌耐药细胞中呈高表达,上调 miR-34a 的表达可直接抑制 KLF4 的表达,从组织及细胞水平均提示 miR-34a 负向调控 KLF4 具有逆转结直肠癌化疗耐药的可能。

## 参考文献:

- [1] Gu J,Wang JP,Sun Y,et al. Chinese standard for the diagnosis and treatment of colorectal cancer(2017 edition)[J]. Chinese Journal of Clinicians,2018,12(1):3–23. [顾晋,汪建平,孙燕,等.中国结直肠癌诊疗规范(2017 年版)[J].中华临床医师杂志,2018,12(1):3–23.]
- [2] Thomas J,Ohtsuka M,Pichler M,et al. MicroRNAs:clinical relevance in colorectal cancer[J]. Int J Mol Sci,2015,16(12):28063–28076.
- [3] Mohmmadi A,Mansoori B,Baradran B. The role of microRNAs in colorectal cancer[J]. Biomed Pharmacother,2016, 84:705–713.
- [4] Slabáková E,Culig Z,Remšík J,et al. Alternative mechanisms of miR-34a regulation in cancer[J]. Cell Death Dis,2017,8(10):3100–3112.
- [5] Gao J,Li N,Dong Y,et al. MiR-34a-5p suppresses colorectal cancer metastasis and predicts recurrence in patients with stage II/III colorectal cancer[J]. Oncogene,2015,34(31):4142–4152.
- [6] Li Y,Gong P,Hou JX,et al. MiR-34a regulates multidrug resistance via positively modulating OAZ2 signaling in colon cancer cells[J]. J Immunol Res,2018,2018:7498514.
- [7] Xu BH,Zhang P,Yang S,et al. Current situation and counter measures of drug resistance of tumor chemotherapy[J]. Chinese Journal of Medicine,2005,40(11):12–15.[徐兵河,张频,杨晟,等.肿瘤化疗药物耐药的现状及对策[J].中国医刊,2005,40(11):12–15.]
- [8] Wu J,Ding J,Yang J,et al. MicroRNA roles in the nuclear factor Kappa B signaling pathway in cancer [J]. Front Immunol,2018,9:546.
- [9] Toden S,Kunitoshi S,Cardenas J, et al. Cancer stem cell-associated miRNAs serve as prognostic biomarkers in colorectal cancer[J]. JCI Insight,2019,4(6). pii:125294.
- [10] Fang C,Qiu S,Sun F,et al. Long non-coding RNA HNF1A-AS1 mediated repression of miR-34a/SIRT1/p53 feedback loop promotes the metastatic progression of colon cancer by functioning as a competing endogenous RNA[J]. Cancer Lett,2017,410:50–62.
- [11] Zhang X,Ai F,Li X,et al. MicroRNA-34a suppresses colorectal cancer metastasis by regulating Notch signaling[J]. Oncol Lett,2017,14(2):2325–2333.
- [12] Akao Y,Noguchi S,Iio A,et al. Dysregulation of microRNA-34a expression causes drug-resistance to 5-Fu in human colon cancer DLD-1 cells [J]. Cancer Lett,2011,300(2):197–204.
- [13] Li X,Zhao H,Zhou X,et al. Inhibition of lactate dehydrogenase A by microRNA-34a resensitizes colon cancer cells to 5-fluorouracil[J]. Mol Med Rep,2015,11(1):577–582.
- [14] Zhou H,Liu Y,Zhu R,et al. FBXO32 suppresses breast cancer tumorigenesis through targeting KLF4 to proteasomal degradation[J]. Oncogene,2017,36(23):3312–3321.
- [15] Zhu Z,Yu Z,Wang J,et al. Kruppel-like factor 4 inhibits pancreatic cancer epithelial-to-mesenchymal transition and metastasis by down-regulating Caveolin-1 expression [J]. Cell Physiol Biochem,2018,46(1):238–252.
- [16] Yu T,Chen X,Zhang W,et al. KLF4 regulates adult lung tumor-initiating cells and represses K-Ras-mediated lung cancer[J]. Cell Death Differ,2016,23(2):207–215.
- [17] Yang X,Zhang D,Liu S,et al. KLF4 suppresses the migration of hepatocellular carcinoma by transcriptionally upregulating monoglyceride lipase [J]. Am J Cancer Res,2018,8(6):1019–1029.
- [18] Ghaleb AM,Yang VW. Kruppel-like factor 4 (KLF4):what we currently know[J]. Gene,2017,611:27–37.
- [19] Leng Z,Tao K,Xia Q,et al. Kruppel-like factor 4 acts as an oncogene in colon cancer stem cell-enriched spheroid cells[J]. PLoS One,2013,8(2):e56082.
- [20] Clevers H. The cancer stem cell:premises,promises and challenges[J]. Nat Med,2011,17(3):313–319.
- [21] Chen Q,Li L,Tu Y,et al. MiR-34a regulates apoptosis in liver cells by targeting the KLF4 gene [J]. Cell Mol Biol Lett,2014,19(1):52–64.
- [22] Ding B,Liu P,Liu W,et al. Emerging roles of Krüppel-like factor 4 in cancer and cancer stem cells [J]. Asian Pac J Cancer Prev,2015,16(9):3629–3633.
- [23] Jia Y,Zhang W,Liu H,et al. Inhibition of glutathione synthesis reverses Kruppel-like factor 4-mediated cisplatin resistance[J]. Cancer Chemother Pharmacol,2012,69(2):377–385.
- [24] Mao Q,Quan T,Luo B,et al. MiR-375 targets KLF4 and impacts the proliferation of colorectal carcinoma [J]. Tumour Biol,2016,37(1):463–471.